



IRANIAN SOCIETY of
CRYSTALLOGRAPHY
and MINERALOGY

Vol. 16, No. 2, summer 1387/2008

IRANIAN JOURNAL of
CRYSTALLOGRAPHY
and MINERALOGY

Petrology and Petrogenesis of Igneous Bodies of Divan-Daghy, Ghareh-Gose North of Marand (East Azarbaijan)

S. Aamini¹, A. Ravankhah¹, M. Moayyed²

1- Tehran, Tarbiat Moallem University, Faculty of sciences, Department of Geology.

2- Tabriz, University of Tabriz, Department of Geology.

E-mail: Sadramini@tmu.ac.ir

(Received: 20/5/2007, in revised form: 10/4/2008)

Abstract: Acidic and basic volcanic and intrusive rocks of Harzandat-Divan Daghy as individual masses, are located in North and Northwest of Marand (Harzandat) and South of Jolfa (Ghareh Gose-Divan Daghy) trending NW-SE. These rocks are located under Permian progressive deposits, which are covered by an igneous sole unconformity. Lithological composition of the acidic volcanic rocks ranges from dacite, rhyodacite to rhyolite, and basic volcanic rocks range from basalt to basaltic-andesite, where as plutonic rocks are of quartz-syenite. Major minerals of the acidic volcanic rocks and acidic intrusive bodies are quartz, plagioclase and K-feldspar and of the basic volcanic rocks are plagioclase, pyroxene and olivine. Minor minerals of these rocks are biotite, amphibole, sodic pyroxene, apatite, titanite and zircon. Emplacement of intrusions was in shallow depths as dyke, sill and small stocks and are of A-type. Studies show that acidic volcanic rocks are cognate to intrusive bodies and these rocks are A₁ type. Basic volcanic rocks plot in two field on the discriminant diagrams for basalts: oceanic basalts and within plate basalts, therefore two possibilities may reinforced: 1) either these basalts are the remanents of early Paleo-Tethys oceanic-crust or 2) these basalts were erupted in post collision and within plate environments perior to acidic eruptions and intruding of acidic masses. With respect to shoshonitic characteristics of these basalts which have been determined on the basis of immobile elements, and considering absence of shoshonitic rocks in oceanic environments the latter idea seems to be more acceptable.

Keywords: Petrology, Divan Daghy -Ghareh Gose, Basalt, Shoshonite, Marand ,A-type



سنگشناسی و سنگزایی توده‌های آذرین دیوان داغی - قره گوز شمال مرند (آذربایجان شرقی)

صدرالدین امینی^۱، علیرضا روانخواه^۱، محسن مؤید^۲

۱- گروه زمین شناسی دانشگاه تربیت معلم تهران

۲- گروه زمین شناسی دانشگاه تبریز

پست الکترونیکی: Sadramini@tmu.ac.ir

(دریافت مقاله: ۱۳۸۶/۲/۳۰ ، نسخه نهایی: ۱۳۸۷/۱/۲۲)

چکیده: سنگهای آتشفشاری اسیدی، بازی، و توده‌های نفوذی هرزندات - دیوان داغی به صورت لکه‌های پراکنده در شمال و شمال‌غرب مرند (هرزندات) و جنوب جلفا (کوههای قره گوز و دیوان داغی) با راستای تقریبی NW-SE رخنمون یافته‌اند. مجموعه‌های یاد شده زیر نهشته‌های پیشرونده پرمین و با دگرگشی آذرین پی پوشیده می‌شوند. ترکیب سنگشناسی سنگهای آتشفشاری اسیدی در حد داسیت تا ریوداسیت و ریولیت، ترکیب سنگشناسی سنگهای آتشفشاری بازی در حد بازالت تا آندزیت بازالتی، و ترکیب سنگشناسی توده نفوذی در حد کوارتزسینیت است. کانیهای اصلی سنگهای آتشفشاری اسیدی و توده‌های نفوذی اسیدی شامل کوارتز، پلازیوکلаз، فلدسپار پتاسیم، و کانیهای اصلی سنگهای آتشفشاری بازی، شامل پلازیوکلاز، پیروکسن، و در برخی نمونه‌ها اولیوین است. کانیهای فرعی و عارضه‌ای از بیوتیت، آمفیبول، پیروکسن‌های سدیک، آپاتیت، اسفن، و زیرکن تشکیل شده‌اند. جایگیری توده‌های نفوذی به صورت دایک، سیل و استوکهای کوچک و کم عمق و به انواع A-type تعلق دارند. بررسیهای دقیقترا نشان می‌دهد که سنگهای آتشفشاری اسیدی همخون با توده‌های نفوذی بوده و هر دو به انواع A-type تعلق دارند. سنگهای آتشفشاری بازی در نمودارهای تفکیک کننده محیط زمین ساختی بازالتها در دو گستره بازالتی اقیانوسی و بازالتی درون قاره‌ای قرار می‌گیرند دو احتمال را تقویت می‌کند: یا (۱) از باقیمانده‌های پوسته اقیانوسی پالتوتیس اولاند و یا (۲) پیش از فورانهای اسید و نفوذ توده‌های اسیدی در محیط‌های پساب‌خورد و درون صفحه‌ای فوران کرداند. با توجه به سرشت شوشوئیتی این بازالتها که بر پایه عناصر نامتحرك تعیین شده و عدم مشاهده شوشوئیتها در محیط‌های اقیانوسی، احتمال دوم مقبولتر است.

واژه‌های کلیدی: سنگشناسی، دیوان داغی - قره گوز، بازالت، شوشوئیت، مرند، A-type.

در این بخش رخنمون سنگهای دگرگون به سن پرکامبرین و نیز نهشته‌های پالئوزوئیک، مژوزوئیک و سنتروئیک تا کواترنری گزارش شده است. مهمترین رخداد ته نشستی در این گستره به ضخامت زیادی از نهشته‌های پرم - تریاس جلفا مربوط است که در اغلب نقاط با دگر شیبی آذرین پی، رخنمون سنگهای آتشفشاری، و نفوذی به سن احتمالی دونین - کربونیفر را می‌پوشانند. علاوه بر آن حجم وسیعی از

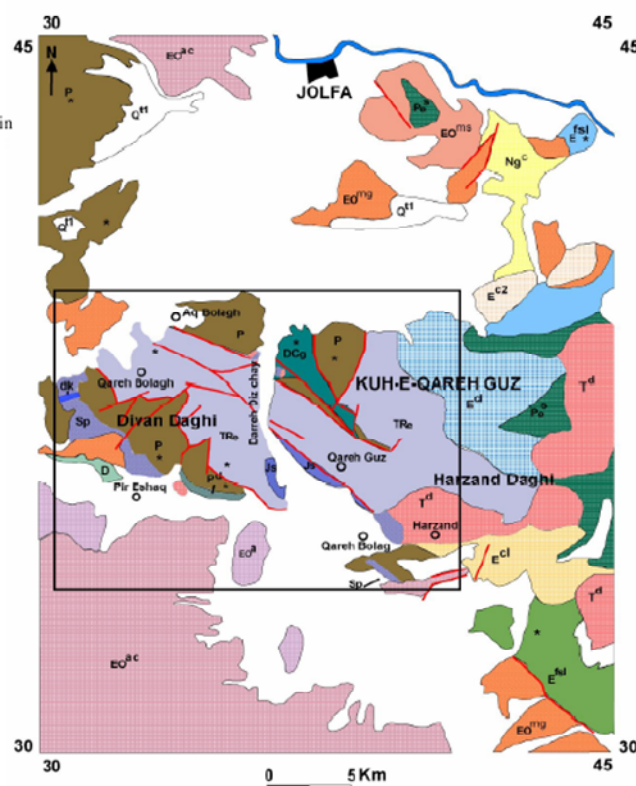
مقدمه

گستره مورد مطالعه بین طولهای جغرافیائی شرقی $30^{\circ} 45^{\circ}$ تا $45^{\circ} 45^{\circ}$ و عرضهای جغرافیائی شمالی $40^{\circ} 38^{\circ}$ تا $50^{\circ} 50^{\circ}$ قرار گرفته است. رخنمون سنگهای آتشفشاری و نفوذی مورد بررسی در دامنه‌های جنوبی و شمالی ارتفاعات قره گوز و دیوان داغی، و در حد فاصل شهرستانهای مرند تا جلفا و در شمال‌غرب ایران به چشم می‌خورد (شکل ۱).

آذرین پی، پوشیده می‌شوند. لذا سن نسبی این رخداد مانع ایجاد فاز هرسی نین (مرز دونین - کربونیفر) نسبت داده می‌شود. شواهد چینه شناسی دیگر از جمله قرار گرفتن نهشته‌های پیشرونده پرمین با دگرشیبی آذرین پی روی سنگهای آتشفشاری اسیدی (در روستای پیراحراق) و نیز پیشروی ته نشسته‌های پرمین بر روی سنگهای آتشفشاری بازیک (در روستای قره بلاغ، غرب هرزند داغی) نشان می‌دهد که جایگیری این توده‌ها پیش از پرمین و پس از دونین و به احتمال زیاد در طی فاز کوهزایی هرسی نین صورت گرفته است.

عمده‌ترین واحدهای زمین ساختی عمل کننده در منطقه، گسل دره دیز و گسلهای شمالی و جنوبی ارتفاعات قره گوز و دیوان داغی است. گسل دره دیز که مهمترین گسل موجود در منطقه است، ارتفاعات دیوان داغی و قره گوز را از همدیگر جدا می‌کند. عملکرد گسلهای وارون و فشاری در دامنه‌های شمالی و جنوبی ارتفاعات دیوان داغی و قره گوز، باعث بالاگذگی ارتفاعات قره گوز و دیوان داغی شده، و دو دشت فشاری پلنگ گور (دشت جنوبی) و دشت جلفا- هادیشهر (دشت شمالی) را ایجاد کرده است.

| | |
|----------------|--|
| Js | Js: Green shale with intercalations of sandstone(SHEMSHAK FORMATION) |
| TRe | TRe: Thick bedded grey dolomite, vermicular limestone, calcareous shale(ELIKA FORMATION) |
| P | P: Dark grey limestone, red marly limestone and shale in the upper part |
| P ^d | P ^d :Sandstone, dark red violet, minor inter calations of red shale |
| D | D: Dolomite, grey gypsum, quartz sandstone, red limestone |
| T ^d | T ^d :Dacitic volcanic dome |
| Qz-Rd | Qz-Rd: Quartz-syenite dykes and dacitic to rhyodacitic lavas |
| Sp | Sp: Spilitic diabase(Devonian or younger) |
| | Study area |



شکل ۱ نقشه زمین‌شناسی منطقه مورد مطالعه (بر گرفته از نقشه ۱:۲۵۰۰۰۰ تبریز- پلدشت) که گستره مورد مطالعه با مربع مشخص شده است.

Rxnmonهای سطحی منطقه به سنگهای آتشفشاری و ولکانوکلاستیک پلیو - کواترنر محدود می‌شود که در جنوب گستره مورد مطالعه از گسترش وسیعی برخوردارند. توده‌های نفوذی کم عمق مربوط به رخنمونهای یاد شده، نهشته‌های تخریبی و تبخیری سرخ فوقانی را قطع می‌کنند. از ویژگیهای چشمگیر این منطقه، ناخنمونی سنگهای سنگهای نشستی مربوط به پائیزوژنیک زیرین (باروت، زاگون، لالون و میلا) است که در سرزمینهای گندوانایی از ته نشسته‌های شاخص محسوب می‌شوند [۱].

زمین‌شناسی منطقه مورد مطالعه

منطقه مورد مطالعه در منطقه بندیهای ساختاری ایران در پهنه‌های مختلف ایران مرکزی [۲]، البرز غربی - آذربایجان [۳] و منطقه سلطانیه - میشو [۴] قرار دارد. سنگهای آتشفشاری اسید و بازیک و توده‌های نفوذی به صورت لکه‌های پراکنده، از مرند تا جلفا و در یک راستای تقریبی NW- SE رخنمون یافته‌اند.

در منطقه مورد مطالعه، توده‌های نفوذی با نهشته‌های کربناتی و شیلی دونین در دره دیز جلفا همبری مستقیم داشته و خود به وسیله نهشته‌های پیشرونده پرمین با دگرشیبی

پژوهشی تعداد ۱۰ نمونه از سنگهای آتشفشارانی اسیدی، ۹ نمونه از سنگهای آتشفشارانی بازی و ۳ نمونه از توده نفوذی، در آزمایشگاه پرتو ایکس دانشکده علوم دانشگاه تربیت معلم تهران (با دستگاه XRF فیلیپس مدل PW2404) که در جدول ۱ ارائه گردیده مورد تجزیه و تحلیل قرار گرفته‌اند.

روش کار

این کار پژوهشی در دو مرحله صحرایی و آزمایشگاهی صورت پذیرفته است. در کارهای صحرایی ویژگیهای سنگ‌شناسی و تغییرات لیتولوژیکی توده‌های مورد مطالعه بررسی شدند، و بر پایه تغییرات مشاهده شده، تعداد ۱۵۰ نمونه برای بررسیهای سنگ‌شناسی برداشت شدند. از نمونه‌های برداشت شده ۸۰ قطع نازک تهیه و مورد بررسی قرار گرفتند. در این کار

جدول ۱ نتایج تجزیه شیمیایی سنگهای مورد مطالعه (اکسیدها، درصد وزنی، و سایر عناصر). (PPm).

| Application | | Rhyolite | | | | |
|--------------------------------|------|----------|-------|-------|-------|-------|
| Sample name | | BR-3 | ER-15 | AR3g2 | DR-15 | AR3f2 |
| Compound | Unit | Value | Value | Value | Value | Value |
| SiO ₂ | % | 73,40 | 69,98 | 72,61 | 71,20 | 72,40 |
| Al ₂ O ₃ | % | 12,36 | 13,70 | 13,43 | 16,37 | 13,82 |
| Fe ₂ O ₃ | % | 4,22 | 3,67 | 3,25 | 2,96 | 2,13 |
| MgO | % | 0,46 | 0,87 | 0,26 | 0,21 | 0,55 |
| CaO | % | 0,31 | 2,03 | 0,80 | 0,69 | 0,74 |
| Na ₂ O | % | 3,99 | 3,77 | 3,82 | 4,43 | 3,98 |
| K ₂ O | % | 3,74 | 4,41 | 4,33 | 2,56 | 4,78 |
| MnO | % | 0,02 | 0,05 | 0,00 | 0,02 | 0,01 |
| TiO ₂ | % | 0,36 | 0,41 | 0,41 | 0,46 | 0,46 |
| P ₂ O ₅ | % | 0,13 | 0,10 | 0,10 | 0,11 | 0,13 |
| Cs | ppm | 11 | 9 | 16 | 2 | 2 |
| Ga | ppm | 18 | 18 | 17 | 20 | 18 |
| Mo | ppm | 3 | 3 | 3 | 3 | 3 |
| Sn | ppm | 84 | 65 | 77 | 75 | 82 |
| Ni | ppm | 12 | 9 | 10 | 16 | 14 |
| Rb | ppm | 10.8 | 13.5 | 13.2 | 7.5 | 15.5 |
| Sr | ppm | 64 | 84 | 13.0 | 15.6 | 15.8 |
| Y | ppm | 25 | 30 | 25 | 23 | 22 |
| Cr | ppm | 68 | 98 | 10.3 | 9.0 | 8.5 |
| Zr | ppm | 451 | 469 | 452 | 540 | 489 |
| Nb | ppm | 42 | 46 | 44 | 51 | 47 |
| Ba | ppm | 839 | 848 | 818 | 864 | 858 |
| La | ppm | 78 | 75 | 85 | 9.0 | 82 |
| Ce | ppm | 62 | 64 | 63 | 65 | 66 |
| Yb | ppm | 6 | 5 | 6 | 11 | 8 |
| Sc | ppm | 1 | 6 | 1 | 1 | 2 |
| V | ppm | 28 | 32 | 32 | 34 | 37 |
| Pb | ppm | 17 | 15 | 36 | 7 | 45 |
| Cu | ppm | 2 | 2 | 4 | 3 | 1 |
| Co | ppm | 7 | 5 | 5 | 3 | 2 |
| Zn | ppm | 41 | 99 | 9 | 9.0 | 45 |
| Th | ppm | 19 | 17 | 17 | 23 | 17 |
| Nd | ppm | 16 | 13 | 16 | 16 | 17 |
| Sm | ppm | 5 | 4 | 5 | 4 | 4 |
| Ta | ppm | 1 | 2 | • | 2 | 1 |
| Eu | ppm | • | • | • | • | • |

ادامه جدول ۱

| Application | | Rhyolite | | | | |
|--------------------------------|------|----------|-------|-------|-------|-------|
| Sample name | | BR-12 | BR-2 | ER-14 | ER-13 | DR-18 |
| Compound | Unit | Value | Value | Value | Value | Value |
| SiO ₂ | % | 74,28 | 70,95 | 68,94 | 68,28 | 74,20 |
| Al ₂ O ₃ | % | 11,84 | 14,29 | 14,45 | 14,92 | 12,85 |
| Fe ₂ O ₃ | % | 2,96 | 4,52 | 4,46 | 3,96 | 3,25 |
| MgO | % | 0,63 | 0,31 | 0,72 | 0,66 | 0,67 |
| CaO | % | 0,10 | 0,71 | 0,53 | 2,56 | 0,50 |
| Na ₂ O | % | 3,70 | 4,29 | 4,05 | 3,98 | 3,92 |
| K ₂ O | % | 5,12 | 4,26 | 3,91 | 4,07 | 3,11 |
| MnO | % | 0,01 | 0,02 | 0,04 | 0,09 | 0,02 |
| TiO ₂ | % | 0,31 | 0,44 | 0,51 | 0,37 | 0,36 |
| P ₂ O ₅ | % | 0,05 | 0,13 | 0,15 | 0,10 | 0,11 |
| Cs | ppm | 12 | 14 | 2 | 2 | 20 |
| Ga | ppm | 19 | 18 | 20 | 20 | 19 |
| Mo | ppm | 4 | 3 | 3 | 3 | 3 |
| Sn | ppm | 66 | 70 | 77 | 81 | 97 |
| Ni | ppm | 15 | 21 | 16 | 16 | 11 |
| Rb | ppm | 177 | 124 | 112 | 123 | 89 |
| Sr | ppm | 41 | 65 | 106 | 169 | 87 |
| Y | ppm | 51 | 26 | 34 | 26 | 20 |
| Cr | ppm | 108 | 76 | 65 | 106 | 69 |
| Zr | ppm | 927 | 468 | 502 | 489 | 521 |
| Nb | ppm | 96 | 47 | 52 | 45 | 46 |
| Ba | ppm | 855 | 864 | 851 | 874 | 861 |
| La | ppm | 377 | 115 | 98 | 79 | 93 |
| Ce | ppm | 62 | 66 | 67 | 66 | 64 |
| Yb | ppm | 10 | 16 | 12 | 9 | 7 |
| Sc | ppm | 3 | · | · | 9 | · |
| V | ppm | 20 | 35 | 39 | 28 | 29 |
| Pb | ppm | 11 | 16 | 14 | 9 | 13 |
| Cu | ppm | 20 | 3 | 28 | 2 | 2 |
| Co | ppm | 4 | 6 | 7 | 6 | 4 |
| Zn | ppm | 21 | 31 | 104 | 122 | 87 |
| Th | ppm | 14 | 20 | 21 | 19 | 22 |
| Nd | ppm | 23 | 18 | 21 | 17 | 21 |
| Sm | ppm | 30 | 4 | 5 | 1 | 3 |
| Ta | ppm | 2 | 2 | · | 1 | 3 |
| Eu | ppm | · | · | · | 1 | · |

ادامه جدول ۱

| Application | | Basalt | | | |
|--------------------------------|------|--------|-------|-------|-------|
| Sample name | | BR-16 | BR-20 | AR-2e | DR-23 |
| Compound | Unit | Value | Value | Value | Value |
| SiO ₂ | % | 52.68 | 51.00 | 44.03 | 53.68 |
| Al ₂ O ₃ | % | 14.01 | 15.72 | 13.00 | 14.24 |
| Fe ₂ O ₃ | % | 13.50 | 16.22 | 17.88 | 17.87 |
| CaO | % | 9.27 | 3.10 | 8.78 | 2.43 |
| MgO | % | 3.23 | 2.11 | 9.03 | 2.44 |
| K ₂ O | % | 0.49 | 0.15 | 0.23 | 0.07 |
| Na ₂ O | % | 3.11 | 6.52 | 1.85 | 5.66 |
| MnO | % | 0.14 | 0.03 | 0.33 | 0.20 |
| TiO ₂ | % | 2.27 | 2.81 | 2.75 | 1.84 |
| P ₂ O ₅ | % | 0.29 | 0.23 | 0.63 | 0.09 |
| Ba | ppm | 444 | 380 | 314 | 210 |
| Ce | ppm | 47 | 20 | 31 | 36 |
| Cr | ppm | 75 | 71 | 43 | 2 |
| Cs | ppm | 1 | 1 | 1 | 1 |
| Eu | ppm | 2 | 1 | 3 | 2 |
| Hf | ppm | 3 | 2 | 2 | 5 |
| La | ppm | 28 | 29 | 22 | 62 |
| Nb | ppm | 3 | 0 | 5 | 16 |
| Nd | ppm | 39 | 64 | 45 | 154 |
| Ni | ppm | 53 | 87 | 59 | 1 |
| Rb | ppm | 10 | 10 | 10 | 9 |
| Sc | ppm | 24 | 14 | 31 | 11 |
| Sm | ppm | 6 | 10 | 3 | 15 |
| Sr | ppm | 345 | 290 | 338 | 223 |
| Ta | ppm | 1 | 2 | 2 | 1 |
| Tb | ppm | 1 | 1 | 2 | 1 |
| Y | ppm | 32 | 33 | 27 | 61 |
| Yb | ppm | 2 | 2 | 2 | 1 |
| Zr | ppm | 220 | 177 | 189 | 50.4 |

| Application | | Basalt | | | | |
|--------------------------------|------|--------|-------|-------|-------|-------|
| Sample name | | CR-2 | BR-18 | BR-13 | ER-3 | CR-3 |
| Compound | Unit | Value | Value | Value | Value | Value |
| SiO ₂ | % | 50.78 | 56.97 | 52.51 | 54.48 | 50.36 |
| Al ₂ O ₃ | % | 12.08 | 14.13 | 12.24 | 15.36 | 14.88 |
| Fe ₂ O ₃ | % | 18.94 | 13.39 | 9.50 | 9.06 | 15.22 |
| CaO | % | 4.04 | 5.91 | 2.93 | 8.75 | 7.95 |
| MgO | % | 5.96 | 1.65 | 1.81 | 1.68 | 3.99 |
| K ₂ O | % | 0.10 | 0.87 | 0.26 | 0.51 | 0.33 |
| Na ₂ O | % | 0.76 | 4.02 | 4.43 | 6.35 | 2.91 |
| MnO | % | 0.39 | 0.18 | 0.91 | 0.12 | 0.43 |
| TiO ₂ | % | 3.23 | 1.81 | 2.95 | 2.46 | 2.47 |
| P ₂ O ₅ | % | 0.67 | 0.18 | 1.02 | 0.32 | 0.46 |
| Ba | ppm | 440 | 537 | 303 | 200 | 741 |
| Ce | ppm | 24 | 57 | 23 | 21 | 74 |
| Cr | ppm | 9 | 99 | 43 | 37 | 41 |
| Cs | ppm | 0 | 1 | 1 | 1 | 1 |
| Eu | ppm | 3 | 1 | 7 | 1 | 3 |
| Hf | ppm | 3 | 3 | 7 | 4 | 2 |
| La | ppm | 21 | 34 | 24 | 14 | 19 |
| Nb | ppm | 2 | 4 | 5 | 2 | 3 |
| Nd | ppm | 73 | 25 | 71 | 21 | 32 |
| Ni | ppm | 4 | 52 | 11 | 38 | 31 |
| Rb | ppm | 10 | 11 | 10 | 12 | 10 |
| Sc | ppm | 19 | 25 | 14 | 28 | 31 |
| Sm | ppm | 5 | 7 | 13 | 5 | 5 |
| Sr | ppm | 372 | 465 | 209 | 421 | 516 |
| Ta | ppm | 1 | 1 | 1 | 1 | 1 |
| Tb | ppm | 0 | 1 | 1 | 1 | 1 |
| Y | ppm | 36 | 31 | 57 | 23 | 27 |
| Yb | ppm | 1 | 2 | 1 | 1 | 1 |
| Zr | ppm | 226 | 196 | 332 | 202 | 191 |

ادامه جدول ۱

| Application | | Syenite | | |
|--------------------------------|------|---------|-------|-------|
| Sample name | | CR-13 | CR-12 | CR-14 |
| Compound | Unit | Value | Value | Value |
| SiO ₂ | % | ۶۲,۱ | ۶۴,۷۶ | ۶۱,۹۸ |
| Al ₂ O ₃ | % | ۱۶,۲۷ | ۱۷,۷۹ | ۱۸,۲۴ |
| Fe ₂ O ₃ | % | ۵,۵۸ | ۵,۹۷ | ۶,۲ |
| MgO | % | ۰,۹۳ | ۲,۱۳ | ۲,۲۱ |
| CaO | % | ۲,۳۶ | ۲,۱۲ | ۳,۵۹ |
| Na ₂ O | % | ۴,۲۷ | ۰,۹۸ | ۰,۵۸ |
| K ₂ O | % | ۴,۳۳ | ۵,۰۲ | ۵,۹۷ |
| MnO | % | ۰,۱۴ | ۰,۱۲ | ۰,۱۱ |
| TiO ₂ | % | ۰,۷۳ | ۰,۷۹ | ۰,۸۸ |
| P ₂ O ₅ | % | ۰,۱۵ | ۰,۱۴ | ۰,۱۰ |
| Rb | ppm | ۱۰۹ | ۱۱۰ | ۱۳۶ |
| Sr | ppm | ۳۲۶ | ۳۵۵ | ۳۴۲ |
| Y | ppm | ۷۱ | ۷۶ | ۷۷ |
| Zr | ppm | ۲۶۴ | ۲۸۲ | ۲۷۸ |
| La | ppm | ۱۷۸ | ۱۸۸ | ۱۲۰ |
| Ce | ppm | ۲۳۰ | ۲۶۸ | ۲۱۹ |
| Sm | ppm | ۱۳ | ۱۵ | ۱۳ |
| Hf | ppm | ۱۰ | ۱۲ | ۱۲ |
| Eu | ppm | ۲ | ۲ | ۲ |
| V | ppm | ۴۸ | ۵۲ | ۵۳ |
| Cu | ppm | ۱۱ | ۸ | ۶ |
| Co | ppm | ۶ | ۷ | ۷ |
| Zn | ppm | ۱۱۹ | ۱۱۵ | ۱۰۵ |
| Ga | ppm | ۲۳ | ۲۲ | ۲۱ |
| Th | ppm | ۶ | ۶ | ۶ |
| Ba | ppm | ۲۵۱ | ۳۵۶ | ۱۷۶ |
| Nb | ppm | ۹۰ | ۹۳ | ۸۸ |

کربناتی به وجود آمده و نیز با انباشت نقطه‌های خود، بافت ثانویه گلومرپورفیریک را بوجود آورده‌اند (شکل ۳). فنوکریستهای فلدسپار پتاسیم در اثر دگرسانی و تبدیل به کائولینیت و دیگر کانیهای رسی به صورت مات و ابری دیده می‌شوند. در برخی از نمونه‌ها، فلدسپار پتاسیم با ماکل کارلسپاد و بافت پرتیتی نیز مشاهده می‌شود. همچنین از همرشدی کوارتز و فلدسپار پتاسیم بافت گرانوفیری نیز در این سنگها تشکیل شده است (شکل ۴). کانیهای فرعی موجود در این سنگها زیرکن، آپاتیت و اولیوین غنی از آهن (فایالیت) تشکیل شده‌اند.

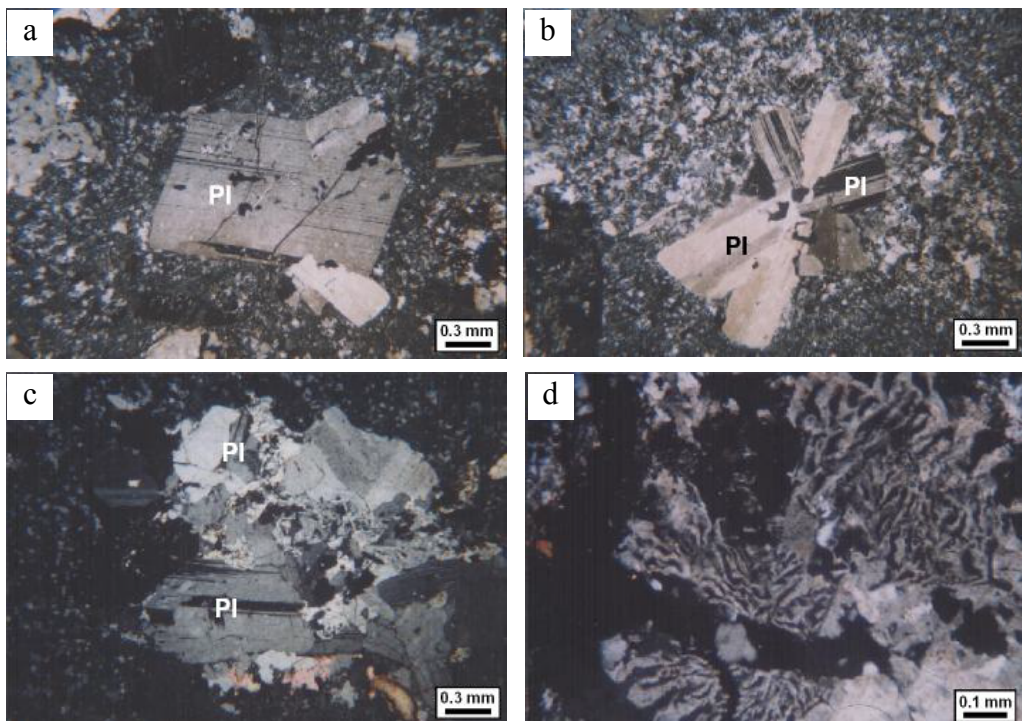
در سنگهای آتشفسانی بازی بافت کلی میکرولیتی تا بین دانه‌ای بوده (شکل ۵) و کانیهای اصلی این سنگها شامل

شرح بررسیها

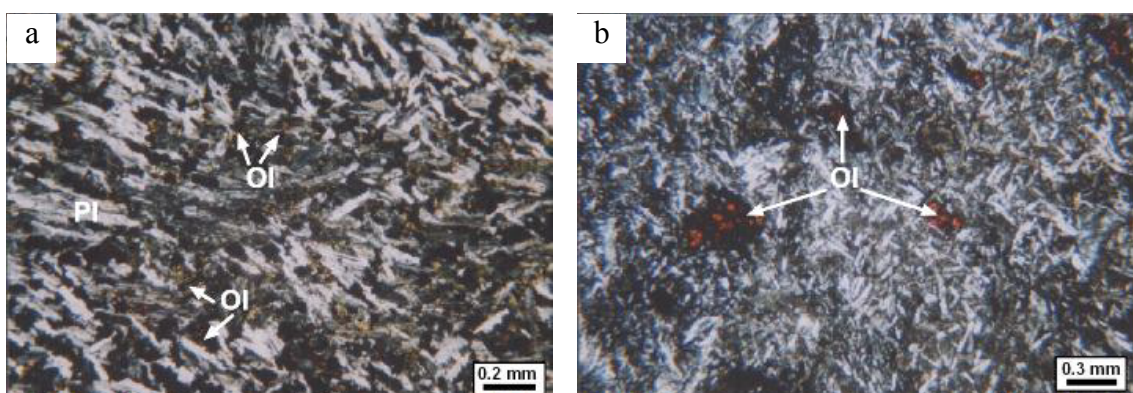
بررسیهای سنگ‌شناختی سنگهای آتشفسانی اسیدی نشان می‌دهند که بافت غالب در این سنگها پورفیریک بوده (شکل ۶) و کانی شناختی اصلی این سنگها شامل کوارتز، پلازیوکلاز، و فلدسپار پتاسیم است. پلازیوکلازهای موجود دارای ماکلهای چند ترکیبی، مشبك، شعاعی، و صلیبی (شکل ۷) بوده و در برخی از نمونه‌ها پرتفیت نیز مشاهده می‌شود. تجزیه شدگی در این کانیها نسبتاً شدید است، به طوریکه در اثر عملکرد گستره دگرسانی، این بلورها به کانیهای ثانویه ای نظریر کلسیت، سریسیت، و کانیهای رسی (کائولینیت) تبدیل شده‌اند. در بعضی از نمونه‌ها، پلازیوکلازها در اثر هضم قطعات

کلینوپیروکسنها در فضای بین پلازیوکلازها و نیز در پیرامون دانه‌های اولیوین‌های ایدنگسیته شده دیده می‌شوند. در اغلب این سنگها، بلورهای سالم اولیوین بندرت پیدا می‌شوند و بیشتر به ایدنگسیت (شکل b^۳)، سرپانتین، و کلریت تجزیه شده‌اند. کانیهای فرعی موجود در این سنگها بیشتر شامل اسفن و آپاتیت‌اند.

پلازیوکلاز، پیروکسن و در برخی از نمونه‌ها اولیوین است. پلازیوکلازهای موجود دارای ماکلهای چند ترکیبی و دم چلچله‌ای بوده و در برخی از نمونه‌ها، رشد اپیدوت و کلسیت روی درشت بلورهای پلازیوکلاز دیده می‌شوند. بلورهای پلازیوکلاز هم به صورت سالم و هم دگرسان بوده و در بعضی از نمونه‌ها پلازیوکلازهای اپیدوتیزه مشاهده می‌شود.



شکل ۲ (a) بافت پورفیریک در سنگهای آتشفسانی اسیدی منطقه، نور XPL، (b) ماکل شعاعی و صلیبی در پلازیوکلازهای سنگهای آتشفسانی اسیدی منطقه، نور XPL، (c) بافت گلومروپورفیریک در سنگهای آتشفسانی اسیدی منطقه، نور XPL، (d) بافت گرانوفیر در سنگهای آتشفسانی اسیدی منطقه، نور XPL.

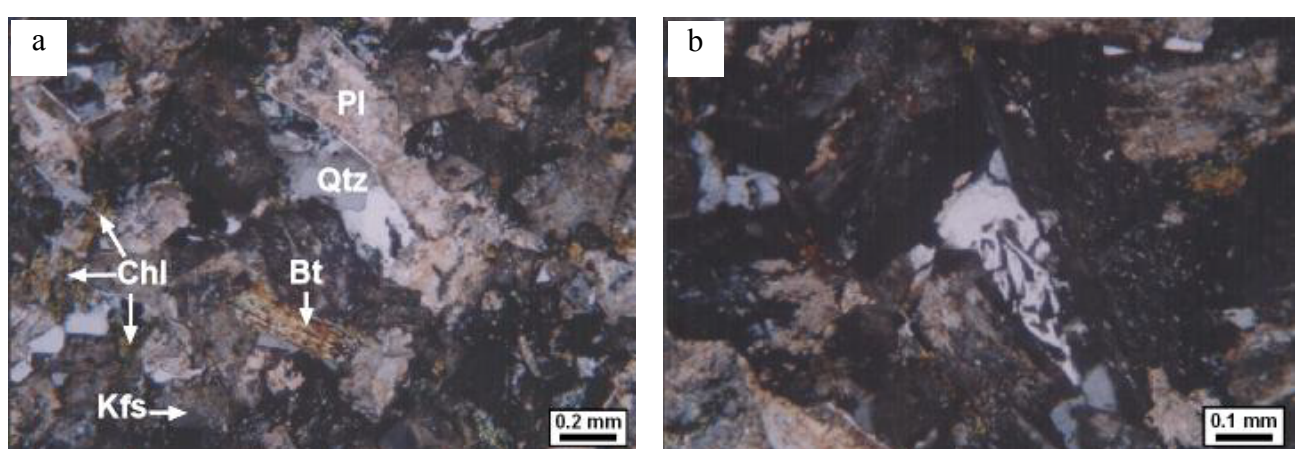


شکل ۳ (a) بافت میکرولیتی در سنگهای آتشفسانی بازیک منطقه، نور XPL، (b) اولیوین ایدنگسیته شده در سنگهای آتشفسانی بازیک منطقه، نور XPL.

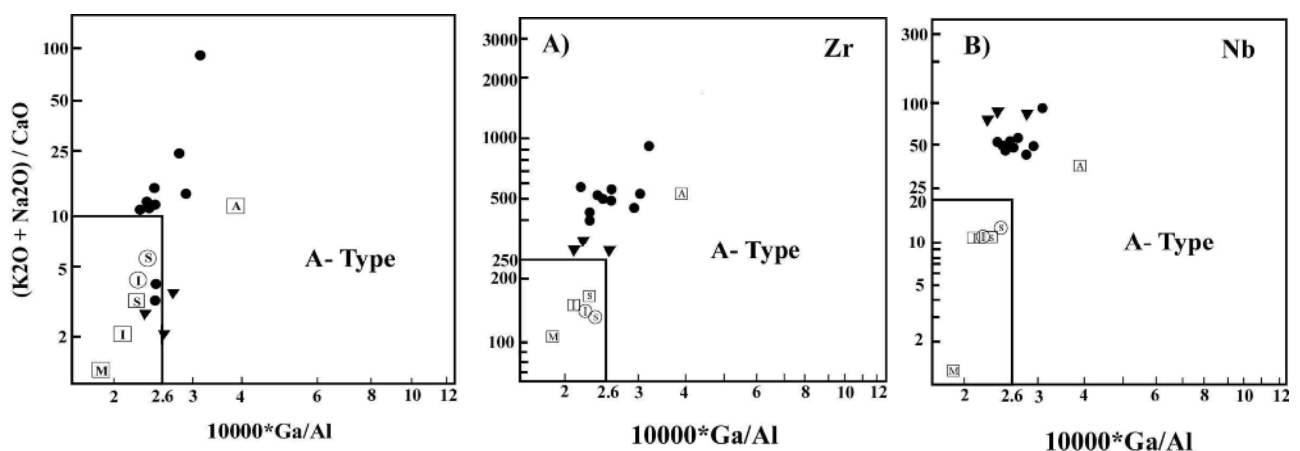
کرد که سنگهای آتشفسانی اسیدی خروجی توده‌های نفوذی، و توده‌های نفوذی اسیدی منطقه از نوع گرانیت‌وئیدهای گونه A هستند (غنى بودن از K و Na + Zr فقیر بودن از Al و Ca ، نسبت بالای $\text{Fe}/\text{Fe} + \text{Mg}$ ، فراوانی بافت‌های پرتیتی، گرانوفیری، و فراوانی زیرکن). در این راستا از نمودارهای جدا کننده انواع مختلف گرانیت‌وئیدها [۵]، بر پایه نسبتهای عناصر اصلی و عناصر کمیاب، استفاده شد که همه آنها گونه A این سنگها را تایید می‌کنند (شکل ۵). با استفاده از نمودار مثلثی $\text{Nb}-\text{Y}-3\text{Ga}$ ، و نسبتهای Rb/Nb بر حسب Nb/Y [۶] که برای تفکیک دو زیر گروه از گرانیتهای گونه A طراحی شده‌اند، معلوم شد که سنگهای مورد مطالعه در زیر گروه A₁ قرار می‌گیرند (شکل ۶). چنانکه قبل اشاره شد، سنگهای آتشفسانی اسیدی و توده نفوذی اسیدی، با گرانیت‌وئیدهای گونه A شباهت زیادی داشته و در زیر گروه A₁ قرار می‌گیرند. زیر گروه A₁ خاستگاه گوشه‌ای داشته و (می‌تواند با درجات زیاد یا کم پوسته قاره‌ای آلوده شده باشد) طی فعالیتهای ماگمای درون داخل صفحه‌ای، و یا در ارتباط با فعالیتهای بالاً‌مدگی پسابرخورد، جایگیری می‌کند. لذا می‌توان برای سنگهای آتشفسانی اسیدی و توده نفوذی همخوان منطقه مورد مطالعه خاستگاه گوشه‌ای در نظر گرفت که با درجات کم تا متوسط از پوسته قاره‌ای آلاش یافته و طی فعالیتها و بالاً‌مدگی پسابرخورد جایگیری کرده‌اند.

در توده‌های نفوذی نیز بافت غالب، گرانولار (شکل ۴a) بوده و کانیهای اصلی موجود شامل کوارتز، پلازیوکلاز، و فلدسپار پتاسیم است. در این سنگها، بلورهای بی‌شکل کوارتز به صورت منفرد یا انباسته فضای بین بلورهای دیگر را پر کرده و بافت بین روزنه‌ای را بوجود آورده است. بلورهای سالم پلازیوکلاز پندرت یافت می‌شوند و بیشتر به سریسیت، کلسیت و کائولینیت تجزیه شده‌اند. فلدسپارهای پتاسیم موجود در این سنگها کائولینیزه شده و در برخی از نمونه‌ها دارای هم رشدی گرانوفیری با کوارتزند (بافت گرانوفیر) (شکل ۶b). کانیهای فرعی موجود شامل زیرکن، آپاتیت، بیوتیت و آمفیبولهای کلسیت و کلریت تجزیه شده‌اند.

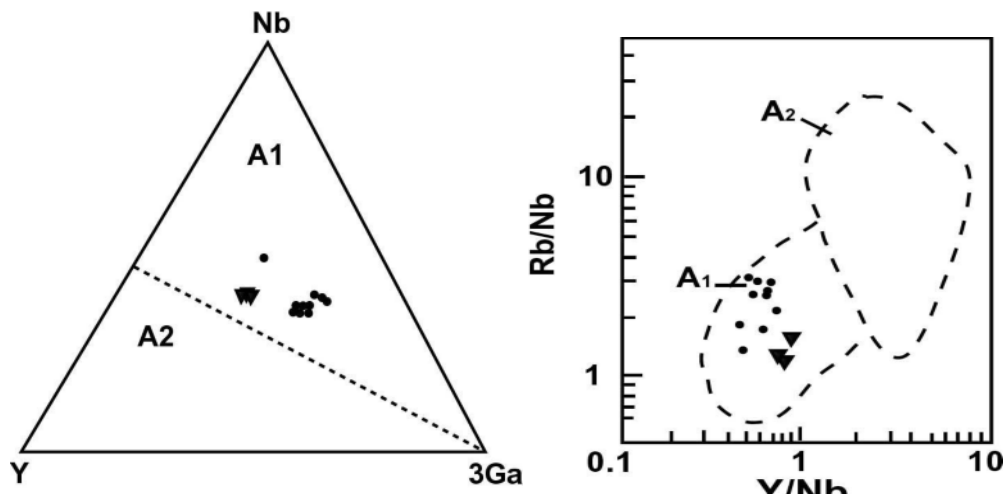
بر پایه بررسیهای صحرایی و ژئوشیمیایی، مجموعه‌های سنگی ارتفاعات دیوان داغی-قره گوز در ۳ گونه سنگی مختلف شامل سنگهای آتشفسانی اسیدی، سنگهای آتشفسانی بازیک و سنگهای نفوذی قابل رده بندی هستند. سنگهای آتشفسانی اسیدی ترکیبی در حد داسیت تا ریوداسیت و ریولیت، سنگهای آتشفسانی بازیک ترکیبی در حد بازالت تا آندزیت بازالتی، و توده نفوذی ترکیبی در حد کوارتز سینیت دارند. با مقایسه داده‌های حاصل از بررسیهای سنگ‌شناختی و ژئوشیمیایی، سنگهای منطقه با مشخصات سنگ‌شناختی و ژئوشیمیایی گونه‌های مختلف گرانیت‌وئیدی، می‌توان استنباط



شکل ۴ (a) بافت ساب هدراال گرانولار در کوارتز سینیت، نور XPL. (b) بافت گرانوفیر در کوارتز سینیت، نور XPL.



شکل ۵ موقعیت نمونه‌های مورد مطالعه و توده‌های همخون و استهای عناصر اصلی و کمیاب [۵]. (علامت دایره نشان دهنده سنگهای آتشفشنای اسیدی و مثلث نشان دهنده توده نفوذی).



شکل ۶ تفکیک سنگهای آتشفشنای اسیدی و توده نفوذی منطقه به زیر گروههای A₁ و A₂ و موقعیت نمونه‌های مورد مطالعه در آن [۶]، (دایره‌ها نشان دهنده سنگهای آتشفشنای اسیدی و مثلث‌ها نشان دهنده توده نفوذی).

بازی بیشتر از نوع شوشوونیتی است که در اثر دگرسانی و تحرک عناصر اصلی ویژگی نیمه قلیایی نشان می‌دهد.

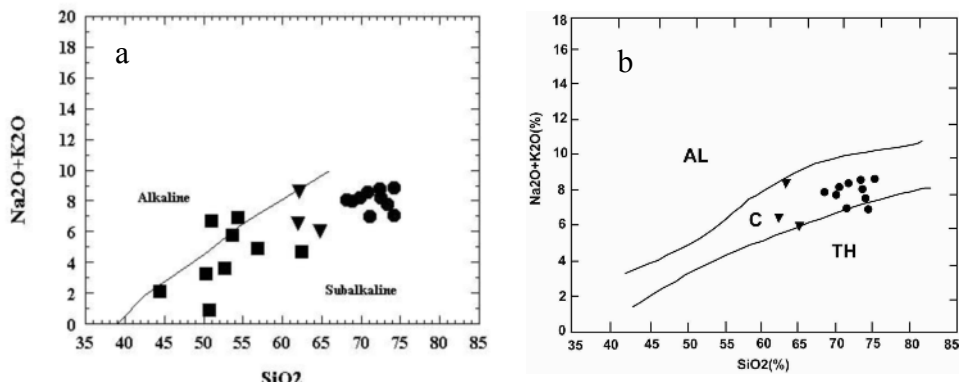
برای تعیین دگرگونیهای ماقمایی و عوامل مؤثر در تولید ماقماً و نیز تعیین شرایط فیزیکو-شیمیایی مکان خاستگاه از نمودارهای عنکبوتی بهنجار شده به ORG و MORB استفاده شده است.

مقایسه نمودار عنکبوتی گروه عناصر کمیاب بهنجار شده نسبت به ORG (گرانیتوئیدهای پشتہ‌های اقیانوسی) در سنگهای آتشفشنای اسیدی همخون با توده نفوذی اسیدی به همراه توده نفوذی، نمودارهای مربوط به سنگهای گرانیتوئیدی از محیط‌های مختلف زمین ساخته [۱۰]، نشان می‌دهد که سنگهای مورد مطالعه همخوانی خوبی با الگوی گرانیتوئیدهای

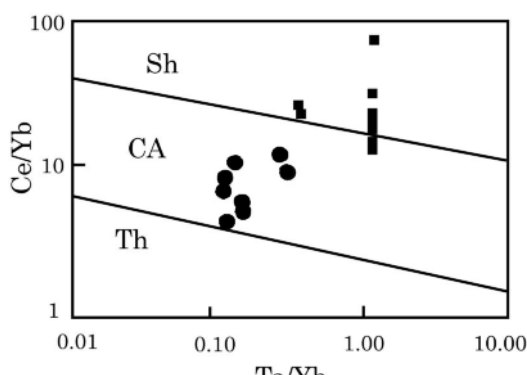
سری ماقمایی سنگهای آتشفشنای و توده نفوذی در نمودار TAS [۷]، نیمه قلیایی (شکل ۷a) و قلیایی نسبت به سیلیس [۸] کالک آلکالن تعیین شده است (شکل ۷b). با توجه به گسترش پدیده دگرسانی در سنگهای آتشفشنای بازی و تا حدودی در سنگهای آتشفشنای اسیدی و توده نفوذی، برای تعیین سری ماقمایی از عناصر نا متخرکی نظیر Ta, Yb, Ce, Th و Ce/Yb-Ta/Yb در گستره آهکی قلیایی قرار می‌گیرند. نمونه‌های وابسته به سنگهای آتشفشنای بازی در این نمودار بیشتر در گستره شوشوونیتی قرار می‌گیرند (شکل ۸). بنابراین می‌توان نتیجه گرفت که سری ماقمایی سنگهای آتشفشنای

جدایش زیاد ماقمای حاصل از گوشتۀ بالایی باشد. ناهنجاری مثبت Nb نشانگر خاستگاه احتمالی گوشتۀای توده‌های یاد شده و جدایش از یک ماقمای گوشتۀای عمیق می‌باشد که این ویژگی با ناهنجاری منفی Y تایید می‌شود.

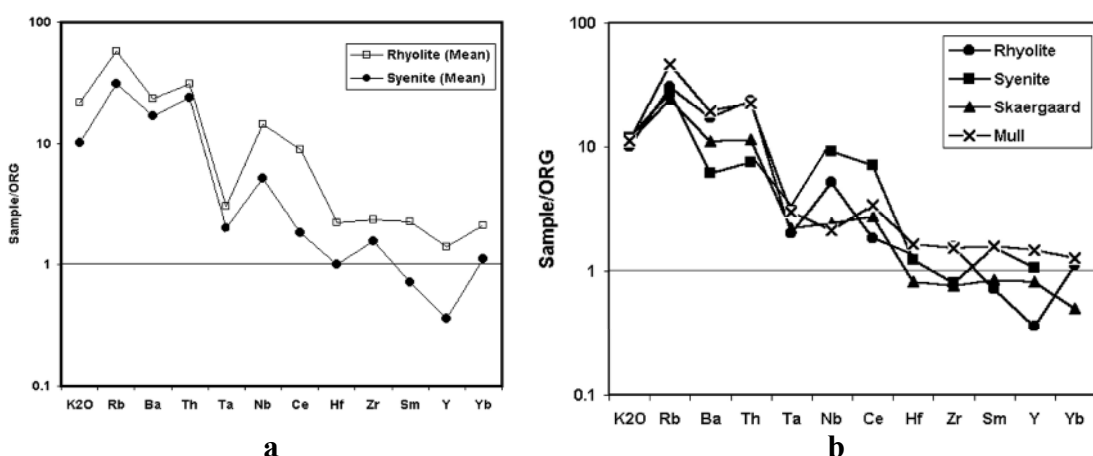
درون صفحه‌ای (WPG) دارند (شکل a, b). بالا بودن عناصر LIL در این نمونه‌ها و تهی شدگی از HREE می‌تواند به دلیل نقش پوسه‌ای و یا تشکیل ماقمای مولد سنگهای آتشفسانی اسیدی و توده نفوذی از مذابهای حاصل از پوسه‌تۀ زیرین و در اثر استقرار ماقمای بازی، و یا به دلیل نرخ کم ذوب و درجه



شکل ۷ (a) نمودار تفکیکی سری قلیایی از نیمه قلیایی و موقعیت نمونه‌های مورد مطالعه در آن [۷] (دایره‌ها نشان دهنده سنگهای اسیدی، مثلث‌ها توده نفوذی و مربع‌ها سنگهای بازیک)، (b) نمودار مجموع قلیایی در مقابل سیلیس و موقعیت نمونه‌های مورد مطالعه در آن [۸]. (دایره‌ها نشان دهنده سنگهای اسیدی و مثلث‌ها نشان دهنده توده نفوذی).



شکل ۸ نمودار Ce/Yb در مقابل Ta/Yb و موقعیت نمونه‌های مورد مطالعه در آن [۹]. (علامت دایره نشان دهنده سنگهای اسیدی و مربع نشان دهنده سنگهای بازی).



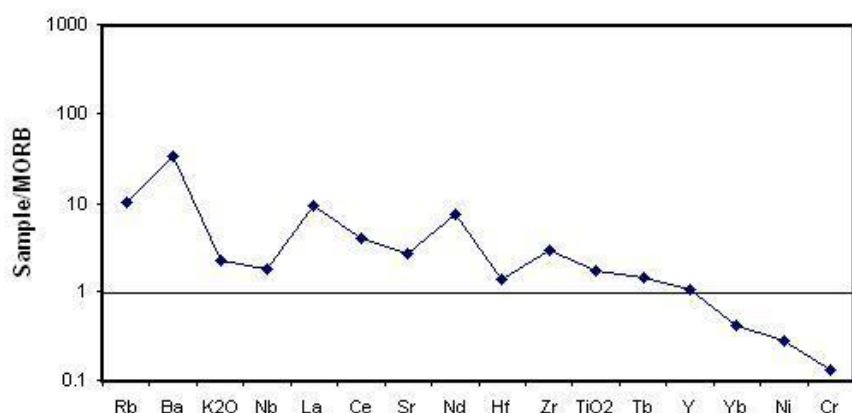
شکل ۹ a و b نمودار عنکبوتی میانگین ترکیب عناصر کمیاب سنگهای آتشفسانی اسیدی و توده نفوذی منطقه، بهنجار شده به [۱۰] ORG و الگوی گرانیت‌وئیدهای درون صفحه‌ای را نشان می‌دهند.

احتمال زیاد مجموعه مافیک - اولترامافیک دگرگون در کوههای میشو که به وسیله گسل جنوبی میشو حریم آنها مشخص شده است، بقایای پوسته اقیانوسی پالئوتیس اولاند که طی فاز هرسی نین و در اثر برخورد ایران با اوراسیا در منطقه زمین چاک (Suture Zone) بدام افتاده اند. این برخورد از نوع قاره - قاره بوده و از شواهد آن می توان به وجود گرانیت S-type میشو در این منطقه اشاره کرد [۱]. با قبول این فرضیه، باید بخش شمالی گسل جنوبی میشو و تبریز را به عنوان حاشیه فعال فروانش، و پوسته را از نوع اوراسیائی در نظر گرفت. ادامه گسلهای یاد شده به سمت شمالغرب از حالت موازی خارج شده و احتمالاً به با پیوند به یکدیگر و تا مرز ترکیه ادامه می یابند. رخنمونهای مشابهی در راستای خط واره یاد شده تا مرز ایران و ترکیه در مناطق هرزندات و کوههای دیوان داغی دیده می شود. گرانیتوئیدهای A-type منطقه مورد مطالعه و آتشفشنان همخوان که سنگهای آتشفشنی بازیک را قطع کرده و خود با نهشته های پرمین پوشیده می شوند را می توان به عنوان گرانیتوئیدهای پسا برخورد قاره - قاره و حاصل بسته شدن اقیانوس پالئوتیس اول در منطقه قلمداد کرد. با توجه به نتایج ژئوشیمیایی، خاستگاه این مagma را می توان از گوشه غنی شده ای نظیر گوشه خاستگاه بازلتهای جزائر اقیانوسی در نظر گرفت که حین صعود دستخوش جدایش زیاد و احتمالاً هضم مواد پوسته ای شده است.

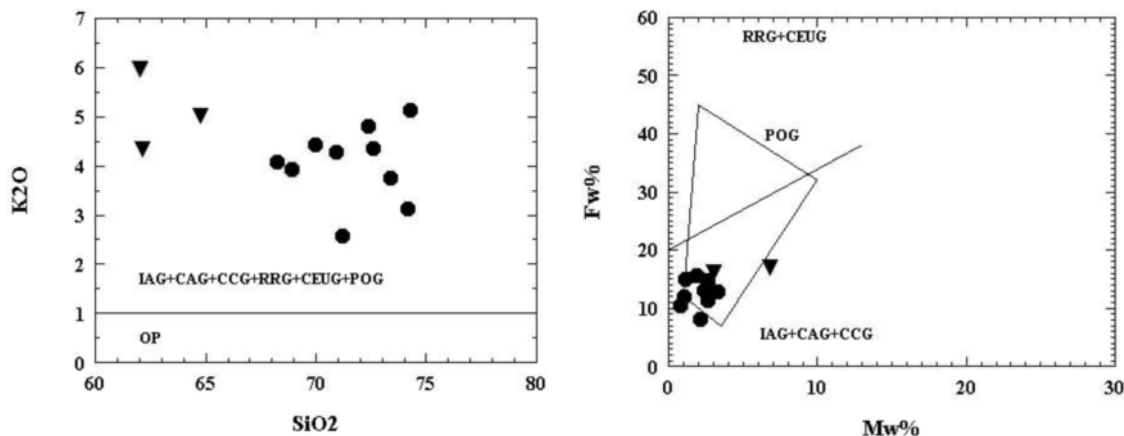
بررسی میانگینی نمودار عنکبوتی ترکیب عناصر کمیاب سنگهای آتشفشنی بازیک بهنجار شده اند، نشان می دهد که اولاً غنی شدگی از عناصر LIL و LREE و تهی شدگی از HREE می تواند به عمق زیاد تشکیل مagma و نرخ ذوب کم و فوگاسیته بالای $\text{CO}_2/\text{H}_2\text{O}$ مربوط باشد. ثانیاً، پایین بودن عناصر دیرگداز گوشه ای (Cr و Ni) نشانگر نرخ ذوب کم و درجه جدایش زیاد magma بازالتی گستره مورد مطالعه نسبت به MORB است (شکل ۱۰).

برای تعیین محیط زمین ساختی سنگهای مورد مطالعه، از نمودارهای مختلفی استفاده شده است. با استفاده از نمودارهایی که بر پایه عناصر اصلی محیطهای مختلف زمین ساختی از یکدیگر تفکیک شده اند [۱۱]، نمونه های مربوط به سنگهای آتشفشنی اسیدی و توడۀ نفوذی اسیدی در گستره POG (پسا کوهزایی) قرار می گیرند (شکل ۱۱). همچنین بر پایه نمودار $\text{Rb}-\text{Nb}+\text{Y}$ [۱۲] نمونه های مربوط به سنگهای آتشفشنی اسیدی در گسترهای WPG و پسابرخورد قرار می گیرند (شکل ۱۲). دلیل پراکندگی نمونه ها و قرار گرفتن برخی از آنها در گستره های دیگر (در نمودارهای مانیار و پیکولی) به تاثیر پذیری اکسیدهای عناصر اصلی از پدیده دگرسانی در این سنگها مربوط می شوند.

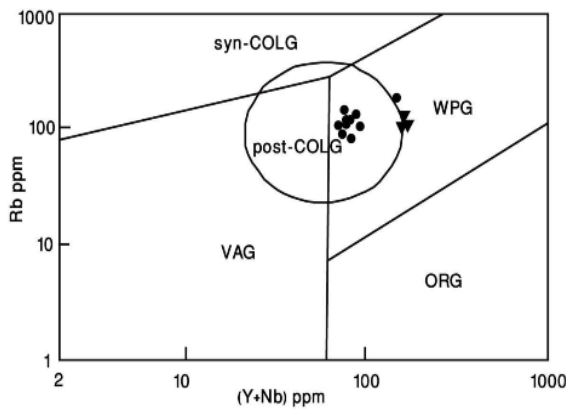
در جنوب شرقی گستره مورد مطالعه، و در کوههای مورو و میشو، تودههای گرانیتوئیدی A-type مجموعه مافیک - اولترامافیک دگرگون کوههای یاد شده را قطع کرده اند، و خود به وسیله نهشته های پیشرونده پرمین پوشیده می شوند. به



شکل ۱۰ نمودار عنکبوتی میانگین ترکیب عناصر کمیاب سنگهای آتشفشنی بازیک، بهنجار شده به MORB [۱۷].



شکل ۱۱ تفکیک محیط زمین‌ساختی سنگهای آتشفسانی اسیدی و توده نفوذی منطقه، با استفاده از نمودارهای مانیار و پیکولی [۱۱] (دایره‌ها نشان دهنده توده نفوذی).



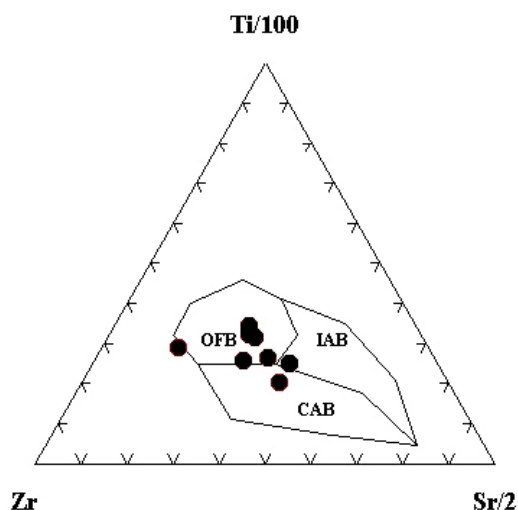
شکل ۱۲ تعیین محیط زمین‌ساختی سنگهای آتشفسانی اسیدی و توده نفوذی منطقه و موقعیت نمونه‌های مورد مطالعه در آن [۱۲] (دایره‌ها نشان دهنده توده نفوذی).

قرار می‌گیرد [۱۳]. در کوههای مورو و میشو رخنمون سنگهای مافیک و اولترامافیک دگرگون به احتمال زیاد به بقایای پوسته اقیانوسی پالثوتیس اول مربوطند که طی رخداد هرسی نین روی پوسته ایران که از گندوانا جدا و به اوراسیا ملحق شده است، رانده شد [۱]. با استناد به این مسئله می‌توان سنگهای بازی رخنمون یافته در کوههای دیوان داغی و قره گوز را ادامه بقایای پوسته اقیانوسی فرض کرد در اینصورت گرانیت‌بیدهای گونه A منطقه و سنگهای آتشفسانی همخون را می‌توان به توده‌های نفوذی پسابرخورد نسبت داد. لازم به یادآوری است که مشابه این توده‌ها در کوههای مورو و میشو (آلکالی گرانیت و سینیت‌های مورو و میشو) توده‌های مافیک و اولترامافیک دگرگون را قطع می‌کنند و به عنوان توده‌های گونه A مربوط به رویداد برخورد ایران با اوراسیا در نظر گرفته شده‌اند [۱].

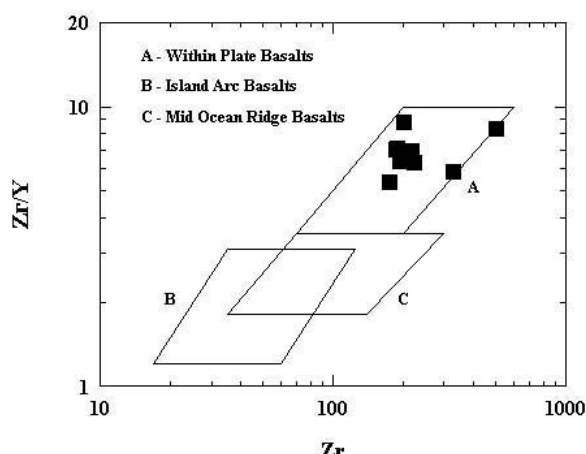
با توجه به همیافتدی سنگهای آتشفسانی بازی و سنگهای آتشفسانی اسیدی، و با توجه به اینکه سنگهای آتشفسانی اسیدی هم ارز خروجی توده‌های نفوذی منطقه‌اند، و از طرفی سنگهای آتشفسانی بازی که با توده‌های نفوذی قطع شده‌اند، در نمودارهای جدا کننده سنگهای بازالتی، نمودار Ti-Zr-Sr [۱۵]، در گستره بازالت‌های کف اقیانوسی قرار می‌گیرند (شکل ۱۳)، ولی سرشت توئیتی ندارند می‌توان گفت که مجموعه این فعالیتها در بازه زمانی دونین تا پرمین رخ داده است و می‌توان، از دو مدل سنگزایی به شرح زیر استفاده کرد.
۱- منطقه زمین چاک پالثوتیس اول در آذربایجان و به سمت هرسی نین از منطقه صوفیان شروع شده و به احتمال زیاد تا مرز ایران و ترکیه و در راستای NW-SE ادامه می‌یابد که بخشی از آن بر گسل تبریز و یا گسل جنوبی کوههای میشو

بررسی مدل زمین‌ساختی جهانی ارائه شده برای تحول پالئوتیپس اول نشان می‌دهد که توده گرانیت‌وئیدی گونه A مورد مطالعه بعد از برخورد قاره – قاره شکل گرفته و مشابه توده‌های A-type مورو و میشو است. بر پایه این مدل در بازه زمانی فاز کالدونین تا هرسی نین، ایران از گندوانا جدا شده و با فرونش رو به شمال پوسته اقیانوسی پالئوتیپس اول، این اقیانوس بین خرد ورقه ایران و اوراسیا بسته شد، و پس از برخورد قاره – قاره و بالازدگی پس از برخورد توده‌های گرانیت‌وئیدی گونه A مورو و میشو و دیوان داغی و قره گوز جایگیری کرده‌اند [۱۴] (شکل ۱۵).

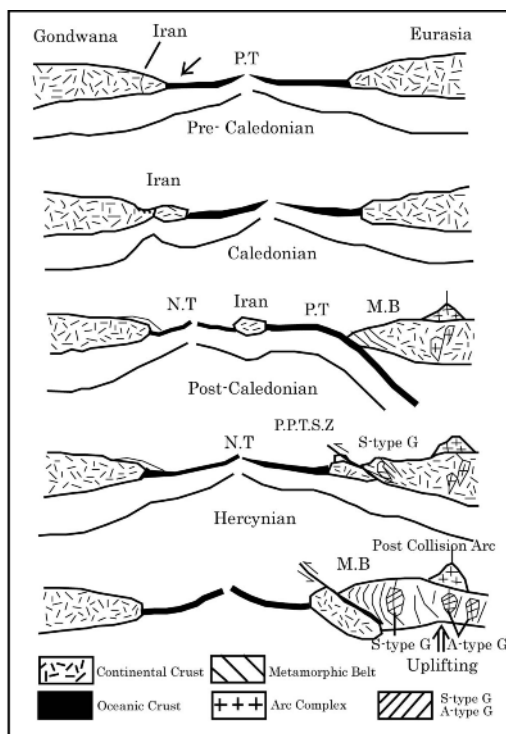
۲- با توجه به سرشت شوشونیتی ماقمای مولد سنگهای آتشفشنی بازی و قرار گرفتن این نمونه‌ها در نمودار [۱۶] در موقعیت درون ورقه‌ای (شکل ۱۴)، می‌توان چنین فرض کرد که پس از رویداد برخوردی هرسی نین که موجب الحاق پوسته ایران به اوراسیا شد، متعاقب فاز فشاری و در اثر تداوم حرکتهای کششی ناشی از بالازدگی پوسته، فعالیتهای آتشفشنی بازالتی درون ورقه‌ای و پسابرخورد آغاز شد، و به دنبال آن گرانیت‌وئیدهای گونه A پس از فعالیتهای کوهزایی و حین بالازدگی پوسته جایگیری کرده‌اند. با توجه به سرشت شوشونیتی سنگهای آتشفشنی بازی و عدم همراهی توده‌های اولترامافیک با این رخنمونها، مدل دوم مقبولتر است.



شکل ۱۳ نمودار متمایز کننده بازالتها بر اساس $Ti/Zr-Sr$ و موقعیت نمونه‌های مورد مطالعه در [۱۵].



شکل ۱۴ نمودار متمایز کننده بازالتها بر پایه متغیرهای $Zr/Y-Zr$ [۱۶].



شکل ۱۵ مدل زمین‌ساختی جهانی تحول پالئوتیس اول [۱۴].

کرده‌اند، و بر پایه نمودارهای مختلف تمایز زمین‌ساختی، بیشتر در محیط‌های درون صفحه‌ای، پسابرخورد و پسا کوه‌زایی قرار می‌گیرند.

۴- قرار گرفتن سنگهای آتشفسنای بازی در دو گستره بازالت‌های اقیانوسی و بازالت‌های درون قاره‌ای، دو احتمال را تقویت می‌کند که می‌توان گفت که: (۱) این بازالت‌ها بقایای پوسته اقیانوسی پالئوتیس اول هستند و (۲) پیش از فوران‌های اسید و نفوذ توده‌های اسیدی در محیط‌های پسابرخوردی و درون صفحه‌ای فوران کرده‌اند. با توجه به سرشت شوشوونیتی این بازالت‌ها که بر پایه عناصر نا متحرک تعیین شده و عدم مشاهده شوشوونیتیها در محیط‌های اقیانوسی و نا همراهی سنگهای اولترامافیک با سنگهای آتشفسنای بازیک، احتمال دوم مقبولتر است.

مراجع

- [۱] مؤید م، مؤذن م، "نگرشی نوبر موقعیت خط درز پالئوتیس در ایران"، فشرده مقالات ششمین همایش انجمن زمین‌شناسی ایران، دانشگاه شهید باهنر کرمان (۱۳۸۱).

برداشت

۱- در منطقه مورد مطالعه، توده‌های نفوذی با ترکیب کوارتز سینیت با نهشته‌های کربناتی و شیلی دونین در دره دیز جلفا همیری مستقیم داشته و سنگهای آتشفسنای اسیدی با ترکیب داسیت تا ریوداسیت و ریولیت همخون با توده‌های نفوذی و بازی با ترکیب بازالت تا آندزیت بازالتی با نهشته‌های پیشرونده پرمین با دگر شیبی آذرین پی، پوشیده می‌شوند. لذا سن نسبی این رخداد مأگمایی به فاز هرسی نین (مرز دونین - کربونیفر) نسبت داده می‌شود.

۲- مأگمای مولد سنگهای آتشفسنای اسیدی و توده نفوذی اسیدی آهکی قلیایی ثانوی (به علت هضم پوسته‌ای) و سنگهای اتشفسنای بازی، شوشوونیتی است.

۳- سنگهای آتشفسنای اسیدی همخون با توده نفوذی و توده نفوذی اسیدی متعلق به گرانیتوئیدهای گونه A بوده و در زیر گروه A₁ قرار می‌گیرند؛ لذا می‌توان پذیرفت که این سنگها منشا خاستگاه گوشه‌های داشته و طی مأگماتیسم درون صفحه‌ای و یا در ارتباط با فعالیت‌های بالاًمدگی پسابرخورد جایگیری

مقالات سیزدهمین همایش انجمن بلورشناسی و کانی‌شناسی ایران، دانشگاه شهید باهنر کرمان (۱۳۸۴) ۱۴۱-۱۴۶.

[15] Pearce J.A., and Cann J.R., "Tectonic setting of basic volcanic rocks determined using trace element analyses", *Earth Planet Sci Lett* 19,290-300.

[16] Pearce J.A., Norry M.J., "Petrogenetic implications of Ti, Zr, Y and Nb variations in volcanic rocks", *Contrib Mineral Petrol* 69 (1979) 33-47.

[17] Boenitz et all., "Using geochemical data: Evaluation, Presentation, Interpretation", Rollinson H.R., 1993, Longman Scientific and Technical, England, (1984), 352 P.

[2] Stocklin J., "Structural history and tectonics of Iran", A review *Am Asso Petrol Geol B* Vol 52 (1968) No 6.

[۳] نبوی م.ح., "دیباچه‌ای بر زمین‌شناسی ایران", انتشارات سازمان زمین‌شناسی کشور، (۱۳۵۵) ۱۰۹ صفحه.

[۴] افتخار نژاد ج., "تفکیک بخش‌های مختلف ایران از نظر وضع ساختمانی در ارتباط با حوضه‌های روسی", (۱۳۵۹).

[5] Whalen J.B., Currie K.L., and Chappell B.W., "A-type Granites: geochemical characteristics, discrimination and petrogenesis", *Contrib Min Pet* 95 (1987) 407-419.

[6] Eby G.N., "Chemical Subdivision of the A-type granitoides Petrogenesis and tectonic implications", *Geology* 20 (1992) 641 – 644.

[7] Irvine T.N., Baragar W.R.A., "A guide to the chemical classification of the common volcanic rocks", *Can Earth Sci* 8 (1971) 523-548.

[8] Kuno H., "Differentiation of basalt magmas, In: Hess H.H., and Poldervaart A.,(eds.) *Basalts: The Poldervaart treatise on rocks of basaltic composition*", Vol 2 Interscience New York (1968) pp 623-688.

[9] Pearce J.A., "Role of the sub-continental lithosphere in magma genesis at active continental margins", In: Hawkesworth C.J., and Norry M.J.,(eds)" Continental basalts and mantle xenoliths" Shiva Nantwich (1983) pp230-249.

[10] Pearce J.A., Harris N.B.W., Tindle A.G., "Trace element discrimination diagrams for the tectonic Interpretation of granitic rocks", *Geol Soc Spec* (1984) Publ, 7, 14 – 24.

[11] Maniar P.D., Piccoli P.M., "Tectonic discrimination of granitoids", *Geo Soc Am Bull* Vol 101 (1989).

[12] Pearce J.A., "Sources and settings of granitic rocks", (1996).

[۱۳] مؤید م., رضائی مقدم م.ح., "اهمیت ژئودینامیکی گسل تبریز و گسل جنوبی میشو در تحول پوسته‌ای ایران", خلاصه مقالات کنفرانس بین المللی مخاطرات زمین، بلایای طبیعی و راه کارهای مقابله با آنها، دانشگاه تبریز (۱۳۸۴).

[۱۴] مؤید م., مؤذن م., کلاغری ع.ا., حسین زاده ق., "کانی-شناسی و پترولسوئزی توده گرانیتیوئیلی میشو (جنوب غرب مرند-آذربایجان شرقی) و اهمیت ژئودینامیکی آن", مجموعه